

用激光干涉法诊断准分子激光在 $\text{YBa}_2\text{Cu}_3\text{O}_{7-\delta}$ 靶面激励等离子体的电子密度

刘大明 焦树良 李再光 官文杰

(华中理工大学激光技术国家重点实验室, 武汉 430074)

提 要

利用激光标准干涉法诊断了准分子激光(XeCl , 308 nm)在 $\text{YBa}_2\text{Cu}_3\text{O}_{7-\delta}$ 超导靶面激励等离子体的电子密度, 结果表明在入射激光功率密度为 $3 \times 10^8 \text{ W/cm}^2$, 本底真空度为 $1.33 \sim 13.3 \text{ Pa}$ 的条件下, 等离子体电子密度为 $10^{16} \sim 10^{17} \text{ cm}^{-3}$.

关键词 准分子激光, 高温超导, 等离子体, 电子密度, 激光干涉

1 引 言

准分子激光剥离法制备高温超导薄膜以其沉积速率快、沉积温度低、成膜质量高而成为目前最富吸引力的方法之一^[1]. 加上等离子体辅助后已成功地做到在 400°C 的基片温度下原位沉积超导薄膜^[2]. 激光制备超导薄膜可分为三个主要过程: 首先是激光入射超导靶面诱导产生等离子体; 其次是等离子体膨胀, 向基片输运; 最后是粒子在基片表面被吸附、成核, 生长超导薄膜. 要弄清激光制备薄膜的动力学机理, 就必须首先研究激光在靶面激励等离子体的产生和发展. 目前在等离子体的粒子飞行时间谱^[3]和空间分辨粒子标识谱^[4]方面已有较多的报道. 也有通过荧光谱来分析等离子体羽动力学过程的报道^[5,6]. 对于短脉冲(ns 级)、低功率密度(约 10^{10} W/cm^2 以下)准分子激光, 其激励的激光等离子体处于非平衡非稳态. 电子的输运是重要的粒子活化源, 电子温度与密度的诊断是等离子体参数诊断的主要内容之一. 正是由于该激光等离子体处于非平衡非稳态, 且紫外光子与固体和等离子体相互作用的机理尚待研究, 使得其参数诊断比较困难.

Ying 等人^[7]在局部热力学平衡的假定下, 对 ArF 准分子激光(193 nm, 斑点能量密度为 3.4 J/cm^2)在 $\text{YBa}_2\text{Cu}_3\text{O}_{7-\delta}$ 靶面激励的等离子体, 用 OMA 测量了 Cu 原子不同上能级的辐射强度比, 由此推算出靶面附近等离子体温度为 8800 K. 但局部热力学平衡模型适用于较稠密等离子体($n_e \gtrsim 10^{18}/\text{cm}^3$), 一般低功率密度激光等离子体不在此范围^[8]. 其温度值只能是一种近似. Von Gutfeld 等人^[9]在电子、离子服从玻尔兹曼分布的前提下, 对 KrF 准分子激光(248 nm, 能量密度为 $1.6 \sim 12 \text{ J/cm}^2$)在 Cu 靶面激励的等离子体, 用 Langmuir 单探针诊断了空间不同点的电子温度(约 1.5 eV)和离子密度($1 \sim 5 \times 10^{12}/\text{cm}^3$). 然而其提供的电子、离子服从玻尔兹曼

收稿日期: 1991 年 9 月 25 日

* 国家教委基金资助课题

分布的证据却不太充分,结果也只能视为一种近似。电子密度诊断方面的工作尚未见报道。本文用激光等离子体较合适的激光干涉法^[10],对 XeCl 准分子激光在 $\text{YBa}_2\text{Cu}_3\text{O}_{7-\delta}$ 靶面激励等离子体的电子密度进行了诊断。

2 实验

利用自由电子气模型,在电子密度 $n_e \ll n_c$ 的条件下 ($n_c = \frac{4\pi^2\varepsilon_0 m_e c^2}{e^2 \lambda^2}$ 为相应于探测激光波长的等离子体临界电子密度),可以得到等离子体折射率为

$$n_p = \left(1 - \frac{n_e}{n_c}\right)^{\frac{1}{2}} \approx 1 - \frac{n_e}{2n_c} \quad (1)$$

设探测光在等离子体羽中的传播路径为 L ,则探测光与参考光之间因光程差改变所导致的条纹移动数为

$$\delta = (1 - p_p) L / \lambda \quad (2)$$

其中 λ 即为探测光波长。由(1)、(2)式得

$$n_e = \frac{2n_c \lambda}{L} \delta \quad (3)$$

即通过测量条纹移动即可得出电子密度随时间的变化。

实验布置如图 1 所示,XeCl 准分子激光聚焦在 $\text{YBa}_2\text{Cu}_3\text{O}_{7-\delta}$ 靶面产生等离子体。He-Ne 激光(632.8 nm)经快门斩波后由分束棱镜分为偏振方向相互垂直的两束,其中探测束 I_1 穿过等离子体羽,参考束 I_2 经 $\lambda/2$ 波片后与探测束偏振方向相同。两束光在半反膜表面重合干涉。干涉光经半反膜分为 B_1 、 B_2 两束。 B_1 经光纤传输至光电倍增管 PMT₁(GDB333)接收,输出信号经示波器显示后由计算机进行处理,由绘图仪画出。 B_2 由光纤传输至光电倍增管 PMT₂(R316)接收,信号经放大、整形、延时后作为准分子激光器的外触发信号。光纤孔径为 $100 \mu\text{m}$,故系统空间分辨率为 $100 \mu\text{m}$ 。

当探测束 I_1 在等离子体羽内传播时,由于等离子体对激光的吸收和散射,出射光束出现很强的衰减峰。穿过等离子体的光束可视为三部分的叠加,即经过等离子体移相的探测束、衰减束(负光强)以及等离子体荧光。由于等离子体荧光是非相干信号,且是空间发散光,用 PMT₁ 前加装 632.8 nm 干涉滤波片的方法直接消除。对衰减束,则要对 PMT₁ 接收的信号进行处理才能将干涉信号取出。设 I_r 为 PMT₁ 实际接收的光强度, S 为干涉信号, $-I_a$ 为衰减束强度,则

$$I_r = (I_1 - I_a) + I_2 + 2 \sqrt{(I_1 - I_a) I_2} \cos 2\pi(\delta + \delta_0) \quad (4)$$

其中 $2\pi\delta_0$ 为探测光与参考光之间的初始相位差。由于 I_2 为一直流信号,故干涉信号可表示为

$$S = [I_r - (I_1 - I_a) - I_2] / \sqrt{I_1 - I_a}. \quad (5)$$

即实际测量是在相同条件下记录 $(I_1 - I_a)$ 、 I_2 、 I_r ,然后用计算机对信号进行处理,将 S 取出。本文在本底真空度为 $1.33 \sim 13.3 \text{ Pa}$ 时对等离子体羽进行了诊断。

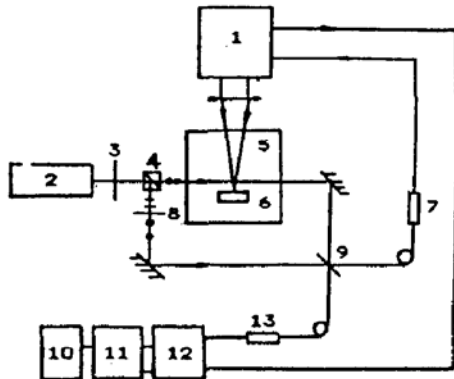


Fig. 1 Experimental set-up, 1—XeCl excimer laser, 2—He-Ne laser, 3—shutter, 4—splitter, 5—vacuum chamber, 6—target, 7—PMT₂, 8— $\lambda/2$ plate, 9—semi-reflecting plate, 10—plotter, 11—computer, 12—digitizer, 13—PMT₁

3 结果与讨论

图 2(a)为距靶面 1 mm 处接收到的 $-(I_1 - I_a)$ (光电倍增管输出为负信号), 真空度为 1.33 Pa, 准分子激光功率密度为 $3 \times 10^8 \text{ W/cm}^2$. 此区域等离子体羽线度 L 为 12 mm, 是由对等离子体羽进行定标照相测得. 图(2b)为处理得到的 $I_r - (I_1 - I_a) - I_2$. 图 2(c) 为干涉信号 $-S$ (处理中实际除 $-(I_1 - I_a)^{\frac{1}{2}}$). 由于等离子体有一个产生、膨胀、消失过程, 干涉信号也应有一个对应的变化与恢复的分布. 由此得出图 2(c) 对应: $(2m-1)\pi < 2\pi\delta_o < 2m\pi u$, $2\pi\delta \leqslant \pi$, 否则波形应出现双峰. 故 $\delta \leqslant 0.5$. 又由幅度估算(将 $S/[2(I_2)^{\frac{1}{2}}]$ 与余弦函数比较)有 $2\pi\delta \geqslant \pi/10$, 故 $\delta \geqslant 0.05$. 将 $\lambda = 632.8 \text{ nm}$ 代入得 $n_e = 2.79 \times 10^{21}/\text{cm}^3$. 由(3)式即得电子密度 n_e 约为 $0.15 \sim 1.5 \times 10^{17}/\text{cm}^3$.

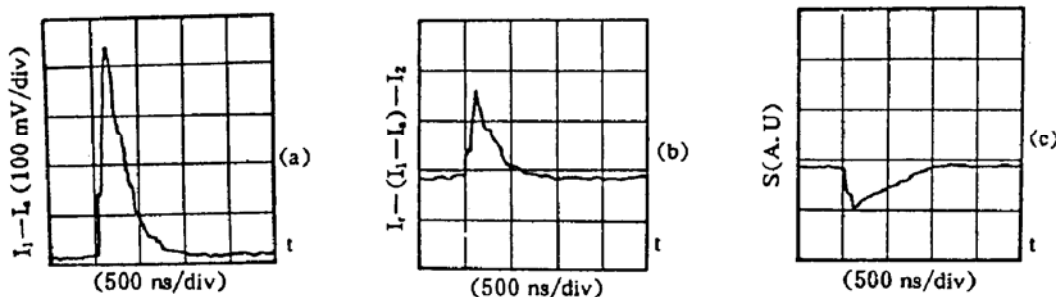


Fig. 2 Where $L = 12 \text{ mm}$, $P = 1.33 \text{ Pa}$

- (a) The negative signal of $(I_1 - I_a)$ dependent on time,
- (b) $[I_r - (I_1 - I_a) - I_2]$ dependent on time
- (c) S dependent on time

结果表明, 当气压变化时条纹移动无明显变化. 表明气压改变时, 电子密度的变化主要由等离子体羽线度的变化决定, 由(3)式即得, $n_e \propto \frac{1}{L}$. 随着等离子体飞离靶面, 电子密度很快下降. 在靶面处条纹变化与上相同, 但等离子体线度 L 为 3 mm, 故电子密度约为上述值的 4 倍; 当距离靶面 2 mm 时(此处 L 为 40 mm), 已测不出条纹的变化. 由此明显看出, 电子的产生主要来自靶面附近的过程.

准分子激光等离子体的电离主要有三种途径: 一是粒子从靶面发射时具有部分电离; 二是等离子体吸收入射激光, 提高电离度; 三是等离子体输运时产生内部碰撞, 导致进一步电离. 为同时研究电子密度随空间时间的变化, 又记录了准分子激光和等离子体荧光的波形. 图 3 为准分子激光和靶面附近等离子体荧光波形(用准分子激光器输出信号作同步触发)以及距靶面 1 mm 处等离子体电子密度波形(在荧光与电子密度同时达到峰值的假定下作时间对应). 可见入射激光波形与靶面处的等离子体荧光波形只有部分重

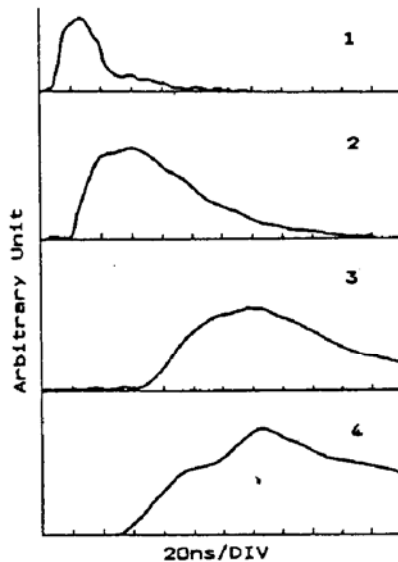


Fig. 3 1—XeCl laser pulse, 2—plasma luminescence on the target surface, 3—plasma luminescence separated 1 mm from the target surface, 4—electron density separated 1 mm from the target surface

合,与距靶面 1 mm 处的等离子体荧光波形已基本分开。这说明激光脉冲的前部分主要用于使粒子从靶面发射出来。当靶面附近粒子密度达到最大,与激光作用最强时(等离子体对激光的吸收与粒子密度及电离度有关),激光脉冲只剩下很小一部分,故吸收主要发生在靶面附近。此外,等离子体飞离靶面时急剧膨胀,只有靶面附近的稠密区域碰撞频率最高。故随着等离子体飞离靶面,电子密度很快下降。考察时间演化,随着膨胀运动,等离子体密度减小,碰撞复合速率下降,所以电子密度上升快(约 90 ns 达到峰值),下降慢(约 800 ns)。上述结论与 Singh 等人的理论模型^[11]是完全符合的。

$n_e/n_c \sim (10^{-5} \sim 10^{-4})$, 可见(1)式近似的误差很小。诊断中待测量只有等离子体羽线度和条纹移动数。前者由米尺作标尺照相。由于等离子体羽没有明显的边缘, 测读会有一定的误差。条纹移动数是诊断最大的误差源。由于 $\delta \leq 0.5$, 难以精确读出, 只能由波形分析估读。故诊断的绝对值只有数量级的意义, 但其随时间空间的相对变化是可信的。

4 结 论

用激光标准干涉法诊断了准分子激光在 $\text{YBa}_2\text{Cu}_3\text{O}_{7-\delta}$ 超导靶表面激励等离子体的电子密度。实验表明等离子体的电离主要来自靶面附近过程的贡献。同时也说明激光干涉法对瞬态等离子体参数诊断是有效的。由条纹移动数 δ 正比于入射激光波长 λ , 且由于低功率密度激光激励等离子体的电子密度不高, 用长波长的探测激光将获得高的诊断精度和空间分辨率。

参 考 文 献

- [1] J. P. Zheng, S. Y. Dong, H. S. Kwok, Texturing of epitaxial in situ Y-Ba-Cu-O thin film on crystalline substrate, *Appl. Phys. Lett.* 1991, **58**(5):540~542
- [2] J. P. Zhang, Z. Q. Huang, D. T. Shaw, et al., Generation of high-energy atomic beam in laser-superconducting target interaction, *Appl. Phys. Lett.* 1989, **54**(3):280~282
- [3] T. J. Geyer and W. A. Weimer, Spectral characteristics of plasma emission during ArF excimer laser ablation of $\text{YBa}_2\text{Cu}_3\text{O}_7$, *Appl. Phys. Lett.* 1989, **54**(5):469~471
- [4] P. E. Dyer, A. Issa, P. H. Key, Dynamics of excimer laser ablation of superconductors in an oxygen environment, *Appl. Phys. Lett.* 1990, **57**(2):186~188
- [5] Hiroshi Fukumura, Hiroshi Nakaminami, Shigeru Eura et al., Time-resolved luminescence spectroscopy of plasma emission from laser ablation of Bi-Sr-Ca-Cu oxide superconductor and related materials, *Appl. Phys. Lett.* 1991, **58**(22):2546~2548
- [6] Q. Y. Ying, D. T. Shaw, H. S. Kwok, Spectroscopic study of plasma-assisted laser deposition of Y-Ba-Cu-O, *Appl. Phys. Lett.* 1988, **53**(18):1762~1766
- [7] M. L. Brake, J. Meachum, R. Gilgenbach et al., Temporally resolved spectroscopy of laser-induced carbon ablation plasmas, *IEEE Trans. on Plasma Science*, 1987, **PS-15**(1):73~77
- [8] R. J. von Gutfeld, R. W. Dreyfus, Electronic probe measurements of pulsed laser copper ablation at 248 nm, *Appl. Phys. Lett.* 1989, **54**(13):1212~1214
- [9] Zhang Huihuang, Lin Zunqi, Bi Wuji et al., Measurement of electron density profile in a laser-produced plasma, *Acta Optica Sinica* (in China), 1989, **7**(1):34~42
- [10] R. K. Singh, Q. W. Holland, J. Narayan, Theoretical model for deposition of superconducting thin films using pulsed laser evaporation technique, *J. Appl. Phys.* 1990, **68**(1):233~247

Determination of electron density of laser-produced Y-Ba-Cu-O plasma with laser interferometry*

LIU Daming JIAO Shuliang LI Zaiguang GUAN Wenjie

(National Laboratory of Laser Technology, Huazhong University
of Science and Technology, Wuhan 430074)

(Received 25 September 1991)

Abstract

The electron density of excimer (XeCl , 308 nm) laser-produced plasma near the surface of Y-Ba-Cu-O target has been diagnosed with laser interferometry. The results show that the electron density is about $10^{16} \sim 10^{17}/\text{cm}^3$ when the laser power density is $3 \times 10^8 \text{ W/cm}^2$ and the background pressure is $1.33 \sim 13.3 \text{ Pa}$.

Key works excimer laser, high temperature superconducting, plasma, electron density, laser interferometry

* This work was supported by the China Educational Committee Foundation